

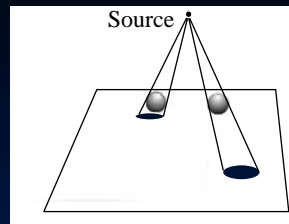
Calcul des ombres

Cours de DEA
C.Soler
Jeudi 01/02/2007

Introduction

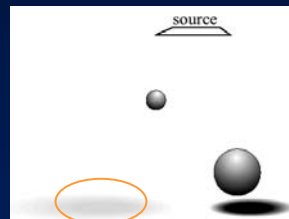
✓ Ombres dures (*Hard shadows*)

- Source ponctuelle
- Détermination binaire
- Renseignant sur la position des obstacles par rapport à l'oeil



✓ Ombres douces (*Soft shadows*)

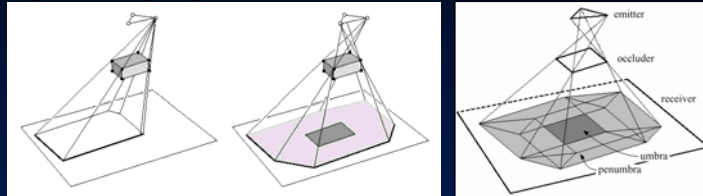
- Source étendue
- Variation continue
- Renseignant sur les tailles et positions relatives entre source, obstacle et récepteur



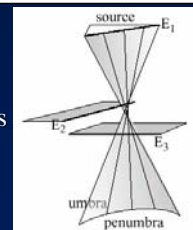
Introduction

Ombre et pénombre

- La pénombre (sens large) est l'union des projections des obstacles depuis chaque point de la source
- L'ombre est l'intersection des projections des obstacles depuis chaque point de la source



- Pour une source et des obstacles polygonaux:
 - » Limite ombre-pénombre: quadriques réglées
 - » Limite pénombre: polyèdre



Introduction

Approximation courante

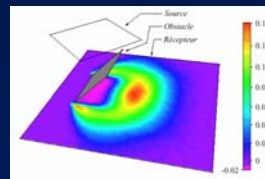
- ✓ Séparation éclairage direct/visibilité moyenne



$$\int_{Source} I(\omega)v(x, \omega) \cos\theta d\omega \quad \# \quad \int_{Source} I(\omega) \cos\theta d\omega \quad \times \quad \frac{1}{\Omega_S} \int_{Source} v(x, \omega) d\omega$$

- ✓ Erreur d'approximation

- faible
- cantonnée dans les zones de forte corrélation source-obstacle



Introduction

Caracteristiques des algorithmes

- ✓ Type de
 - la source: ponctuelle / sphérique / polygonale / à l'infini / uniforme ...
 - l'obstacle: volumique / transparent / polygonal
 - récepteur: plan / courbe / volumique / complexe
- ✓ Exact / approximatif \Rightarrow différentes applications
- ✓ Auto-ombrage ?
- ✓ Vitesse:
 - non interactif / interactif / RT
- ✓ Implémentation: soft/hard
- ✓ Coût
 - CPU
 - mémoire
- ✓ Espace:
 - espace objet / espace image



E	Nombre moyen d'arêtes par polygone
P	Nombre de points pour échantillonner une source étendue
R	Resolution du buffer utilise
n	Nombre de primitives dans la scene
pxq	Resolution de l'image en pixels.

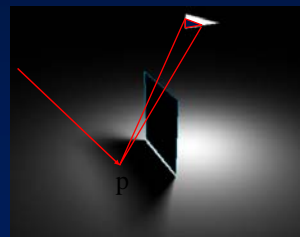
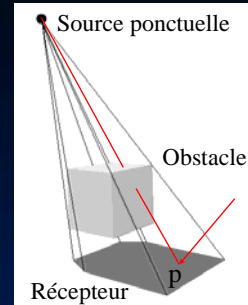
Introduction

Plan

- ✓ Espace objet
 - Lancer de rayons
 - BSP
 - Calculs géométriques explicites
- ✓ Espace image
- ✓ Méthodes hybrides

Lancer de rayons

- ✓ Pour tous les points visibles p :
 - Lancer un rayon de p vers la source
 - Calculer si p voit la source par intersection avec la géométrie
- ✓ Complexité: coûteux.
- ✓ Si la source est étendue:
 - Calculer la proportion de la source qui est visible (Approx.)
 - » Echantillonnage de la source
 - » Plusieurs rayons
 - » Calcul integral (numérique)
 - Calcul de l'illumination (Exact)

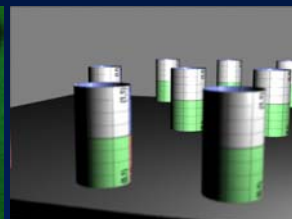
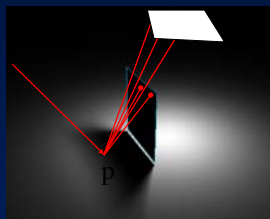


Lancer de rayons

Espace objet

Ray-tracing probabiliste (Cook'84)

- ✓ Principe:
 - échantillonner la source aléatoirement (angle ou espace).
- ✓ Extensions: *motion-blur*, *depth-of-field*
- ✓ Inconvénients:
 - Très coûteux
 - Beaucoup de bruit (n rayons $\iff \log(n)$ bits)



Lancer de rayons

Espace objet

Qualité de l'échantillonnage



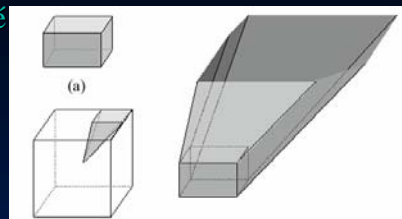
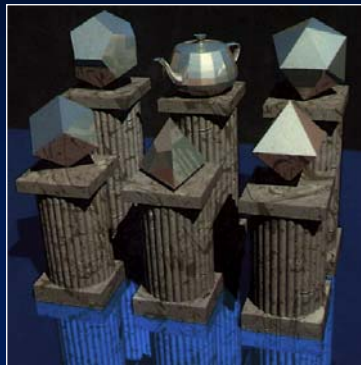
- ✓ **Regulier:**
 - corrélation avec les obstacles
 - ⇒ bandes d'éclairage
- ✓ **Aléatoire uniforme:**
 - bruit (Variance)
 - ⇒ nécessite beaucoup de points
- ✓ **stratifié:**
 - variance réduite ⇒ images meilleures

Lancer de rayons

Classification des rayons (Arvo'87)

- ✓ L'espace $\mathbb{R}^3 \times S^2$ est partagé en voxels.

- Dans chaque voxel on stocke l'ensemble des objets rencontrables par ordre de profondeur.



- ✓ **Inconvénients:**
 - Coût mémoire

Lancer de rayons

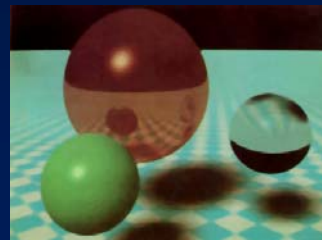
Espace objet

Lancer de cones (Amanatides'84)

- ✓ Idée: remplacer les rayons d'ombre par des cones
 - *Anti-aliasing* automatique sur les ombres
 - Peut simuler des réflexions mi-spéculaires



- ✓ Inconvénients:
 - Les lampes sont sphériques
 - Les intersections sont plus difficiles à calculer
 - Cone-sphère, Cone-plan,
 - Cone-polygone



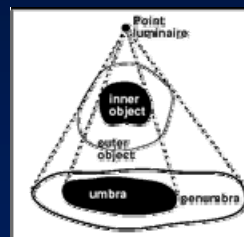
Lancer de rayons

Espace objet

Single sample soft shadows (Parker'98)

- ✓ Une ombre approximative est satisfaisante si:
 - Le calcul est rapide
 - La pénombre varie en fonction des distances obstacle/récepteur et la taille de la source
 - La méthode est stable dans l'espace et le temps
- ✓ Par ailleurs:
 - La forme de la source importe peu

⇒ Méthode *ad-hoc* pour une source sphérique

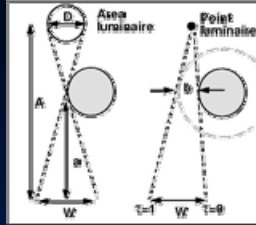


Lancer de rayons

Espace objet

Single sample soft shadows (Parker'98)

✓ Choix des paramètres



Source sphérique / obstacle plan:

$$s = (1 + \sin(\pi\tau - \pi/2)) / 2$$

approche par: $s = 3\tau^2 - 2\tau^3$

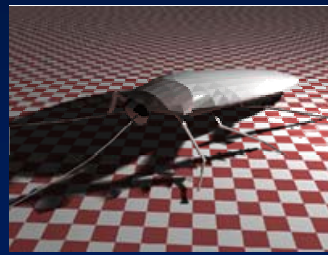
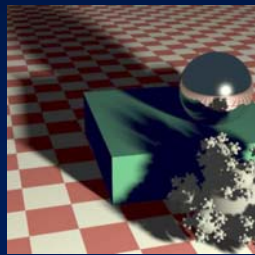
Composition des obstacles:

$$s = \min(s_1, s_2)$$

Création des obstacles virtuels:

$$b = aD / A$$

✓ Résultats



Lancer de rayons

Espace objet

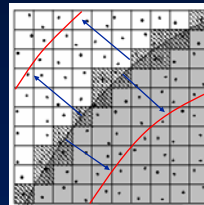
Cohérence des ombres dans l'espace image

Deux points voisins sont souvent sous la même ombre

- Conserver un pointeur sur obstacle, et l'utiliser en priorité lors du calcul des points voisins
- Peut s'appliquer à la liste des obstacles.

✓ Worley'97 - "fast soft shadows".

- Lancer un rayon d'ombre par pixel.
- Les pixels dont les voisins ne sont pas tous dans le même état sont sûrement dans la pénombre.
- Recalculer ces pixels avec plus de rayons
- Propager l'information



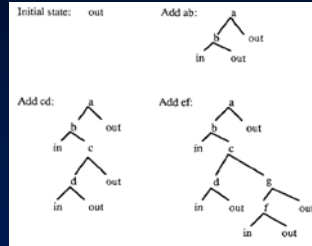
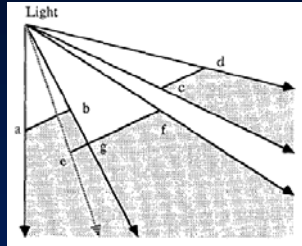
Lancer de rayons

Espace objet

BSP (Chin'89)

✓ Principe:

- Deux arbres BSP: un pour la scene (#1) et un pour la source (#2).
- Construire #2 en parcourant les polygones *front-to-back* (utiliser #1). Pour chaque polygone P:
 - » Découper P en fonction de #2
 - » Mettre à jour #2 avec les parties éclairées de P. Mettre à jour le noeud correspondant dans #1.



- Rendu: rendre ombrés ou pas les sous-polygones des noeuds de #1. (On peut faire un z-buffer, ou un rendu *back-to-front* sans z-buffer grâce à #1).

✓ Sources multiples:

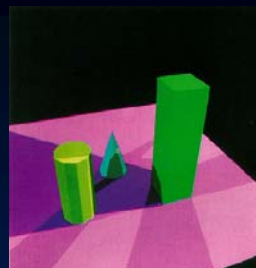
- Utiliser chaque source successivement pour couper les polygones de #1

BSP

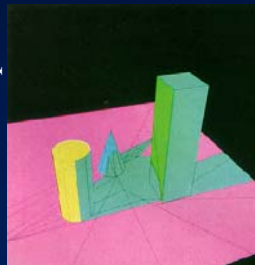
Espace objet

BSP (Chin'89)

Image



Scène découpée



Une source

Trois sources

Deux sources

BSP

Espace objet

Soft-Shadows with BSP (Chin'92)

✓ Deux BSP pour chaque source:

– un BSP pour la pénombre

- » Plans VE et EV qui séparent la source de l'obstacle
- » La pénombre est l'intersection demi-espaces correspondants.

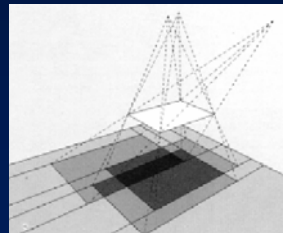
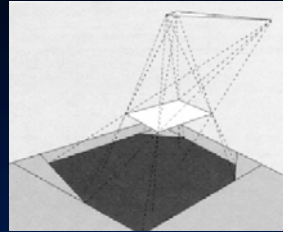
(définition équivalente à union des projections de l'obstacle)

– Un BSP pour l'ombre

- » Plans VE seulement, et tels que la source et l'obstacle sont entièrement du même côté.
- » L'ombre est l'intersection des demi-espaces correspondants.

(définition équivalente à l'intersection des projections de l'obstacle)

✓ L'ombre est incluse dans la pénombre.



BSP

Espace objet

Soft-Shadows with BSP (Chin'92)

✓ Algorithme:

– Pre-processing:

- » Calculer un BSP pour la scène
- » Couper les sources par tous les plans des polygones
Assure la cohérence de l'ordre de traversée des BSP des sources
- » Couper tous les polygones par le plan de chaque source

– Classification et découpage des polygones, front-to-back

- » Utiliser le BSP de pénombre et celui d'ombre
- » Découper les polygones selon leur classification (E/P/O)

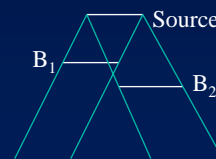
– Rendu:

- » Calcul explicite de l'éclairage dans les zones de pénombre (coûteux)
- » Calcul rapide dans les zones éclairées (facteur de forme analytique)

✓ Défauts:

– La composition des obstacles est fautive

- » L'union de deux volumes d'ombre n'est pas le volume d'ombre de l'union
- » D'ailleurs, pas de triples-arêtes (la limite d'ombre est une conique)

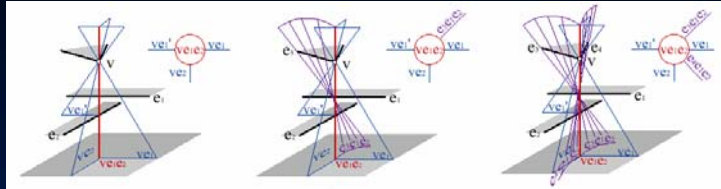


BSP

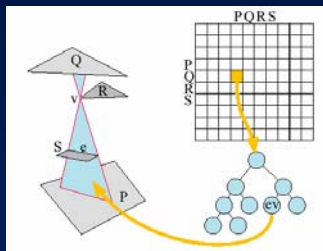
Espace objet

Le squelette de visibilité (Durand'97)

- ✓ Enumération des discontinuités \Rightarrow graphe



- ✓ Structure de données:



```
class Node {
  List<Arcs> adjacentArcs
  Face Fup, Fdown
  Point3D Pup, Pdown
}
```

```
class Arc {
  Node Nstart, Nend
  float tstart, tend
  Face Fup, Fdown
}
```

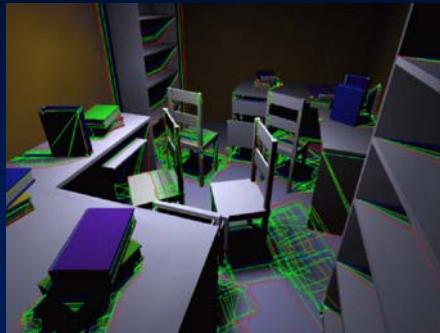
```
class EV : child of Arc {
  Edge e
  Vertex v
}
class VisibilitySkeleton {
  tree<EV> ev[Fup][Fdown]
  tree<EEE> eee[Fup][Fdown]
  ...
}
```

Approches analytiques

Espace objet

Le squelette de visibilité (Durand'97)

- ✓ Requêtes à coût constant:
 - Liste exacte des obstacles
 - Calcul de l'ombre sans séparation de la visibilité.
 - Maillage de discontinuité

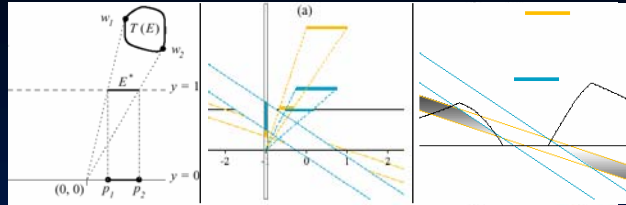


Approches analytiques

Espace objet

Formulation analytique (stark'99)

✓ Étude en 2D



– Sans occlusion:

$$I(x) = k \int_E \frac{\cos \theta \cos \theta'}{d(x, u)} du = k \int_{p_1(x)}^{p_2(x)} \frac{du}{(1+u^2)^{3/2}}$$

– Cas général:

$$I(x) = k \int_{M_E(x, \cdot)} w(u) du - k \int_{M_O \cap M_E(x, \cdot)} w(u) du$$

⇒ Somme de 2 splines polyhédrales ⇒ expression analytique

Approches analytiques

Espace objet

Extension en 3D (stark'99)

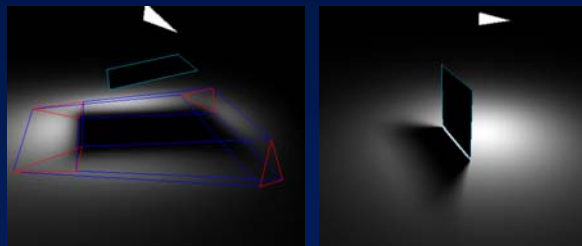
✓ En trois dimensions:

- Splines polyhédrales définies sur des trapèzes de dim 4
- Fonction poids:

$$w(x, y) = (1 + x^2 + y^2)^{-2}$$

– Formule d'évaluation analytique

- » Assez complexe, mais utilisable. Sans de-corrélation.
- » Restreinte à certaines configurations



Approches analytiques

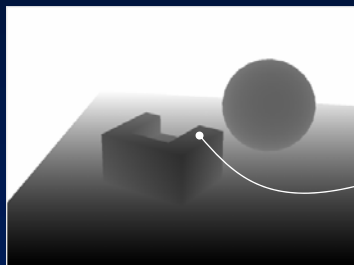
Espace objet

Plan

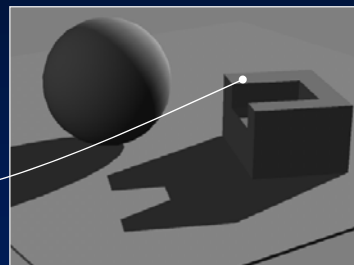
- ✓ Espace objet
- ✓ Espace image
 - Shadow maps
 - Shadow volumes
 - Méthodes à base de textures
- ✓ Méthodes hybrides

Shadow maps (William'78)

- ✓ Algorithme:
 - Rendre la scène vue depuis la source
 - Lire le z-buffer
 - Rendre la scène depuis l'oeil. Pour chaque pixel:
 - » Transformer le pixel dans l'image 1
 - » Si le z est plus petit, le pixel est éclairé, sinon il est à l'ombre.



Vue depuis la source
Z-buffer



Vue utilisateur

Shadow maps

Espace image

Shadow maps: Implémentation

```

LightViewTransform();
RenderScene();
glCopyTexImage2D(GL_TEXTURE_2D, 0, GL_DEPTH_COMPONENT16, 0, 0, w, h, 0);

glTexParameteri(GL_TEXTURE_2D, GL_TEXTURE_COMPARE_MODE_ARB, GL_COMPARE_R_TO_TEXTURE);
glTexParameteri(GL_TEXTURE_2D, GL_TEXTURE_COMPARE_FUNC_ARB, GL_LEQUAL);
glTexParameteri(GL_TEXTURE_2D, GL_DEPTH_TEXTURE_MODE_ARB, GL_INTENSITY);

glTexGeni(GL_S, GL_TEXTURE_GEN_MODE, GL_EYE_LINEAR);      # faire de meme pour T, R et Q
glEnable(GL_TEXTURE_GEN_S);                               #

glEnable(GL_TEXTURE_2D);
glClear(GL_COLOR_BUFFER_BIT | GL_DEPTH_BUFFER_BIT);

glGetFloatv(GL_PROJECTION_MATRIX, proj_mat_scene);
glMatrixMode(GL_TEXTURE);
glLoadIdentity();
glMultMatrix(proj_mat_scene);
glMultMatrix(modelview_mat_scene);

glMatrixMode(GL_MODELVIEW);
EyeViewTransform();

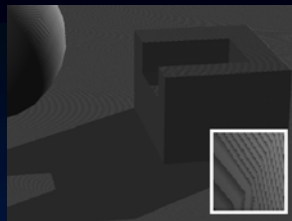
RenderScene();
    
```

(C.f exemples sur le site NVidia)

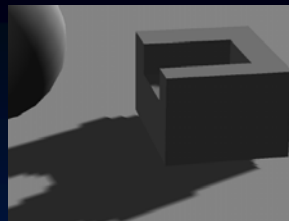
Shadow maps

Espace image

Shadow maps - défauts



Effet d'auto-ombrage



Aliasing

- ✓ Auto-ombrage (éclairage trop "étalé")
 - Correction: rajouter une constante (*bias*) à la *depth map*
- ✓ Aliasing (sous-échantillonnage de la *depth map*)
 - Correction: *Percentage-closer filtering* (Reeves'87)



Pixel (espace image)



Pixel transformé (source)



Moyenne

Valeur float

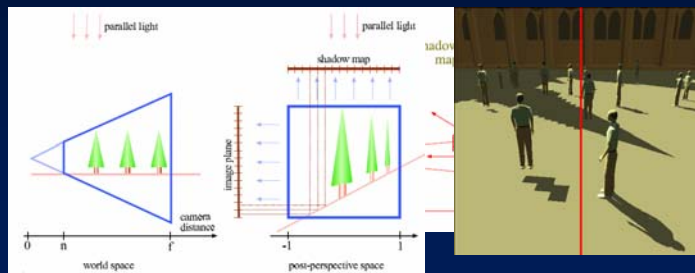
- ✓ Aliasing (sur-échantillonnage de la *depth map*)

Shadow maps

Espace image

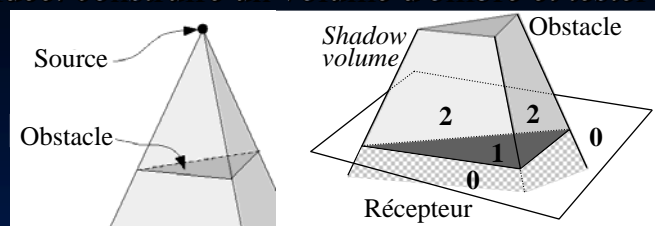
Ameliorations

- ✓ Hourcade'85
 - utiliser un item buffer
- ✓ Adaptive shadow maps (Fernando'01)
 - la shadow map est stockée dans un quadtree
 - fabriquée en utilisant du mip-mapping
- ✓ Perspective shadow maps (Stamminger'02)

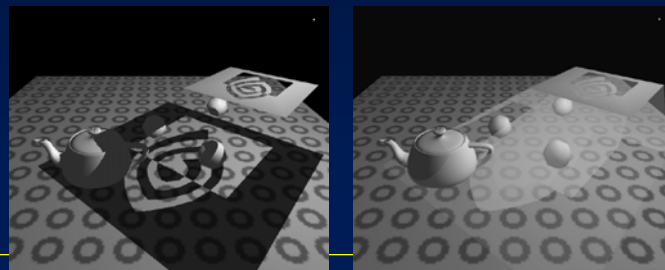


Shadow volumes

- ✓ Idée: construire un volume d'ombre et tester la parité.



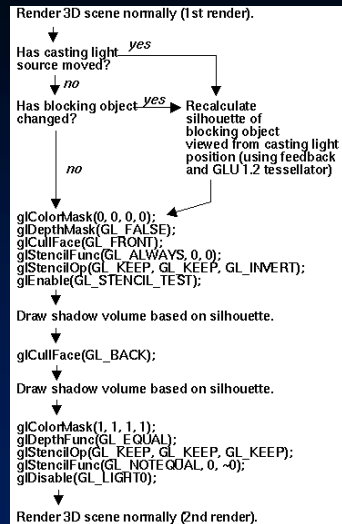
- ✓ Exemple:



Espace image

Shadow volumes

- ✓ **Algorithme:**
 - Rendre la scène une première fois
 - » pour remplir le z-buffer
 - Utiliser le *stencil buffer* pour créer un masque
 - » désactiver l'écriture du FB et z-buffer
 - » rendre le *shadow-volume* coté fond, (inverse le stencil)
 - » rendre le *shadow-volume* coté face, (inverse le stencil)
 - Rendu de la scène (couleur ombre) à travers le masque
- ✓ **Implémentation**
 - Calcul du *shadow volume*
 - » *feed-back buffer* pour les contours
 - » analytique

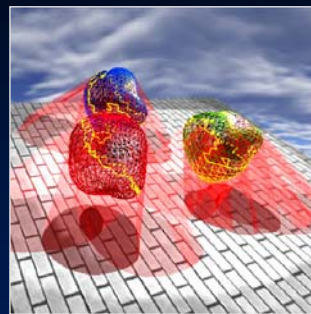


Shadow volumes

Espace image

Améliorations

- ✓ **Calcul de la silhouette:**
 - en utilisant une *shadow map* (McCool'00)
 - » détections de contours
 - avec la *carte graphique* (Brabec'03)
 - » détection des silhouettes en hardware
 - » compatible avec les vertex programs



- ✓ **Sans le stencil buffer (Roettger'02)**
 - initialiser à $\frac{1}{4}$
 - `glBlendFunc(GL_DST_COLOR, GL_ONE/GL_ZERO)` avec resp. 1 et $\frac{1}{2}$.
 - doubler/inverser/doubler en rendant des gros rectangles blancs
- ✓ **En sens inverse (ZPass/ZFail: Everitt'02)**
 - résout le problème de l'oeil dans l'ombre (+ d'autres)

Shadow volumes

Espace image

Méthode Herf (Herf'97) 1/2

✓ Idée:

- Projeter les polygones causant l'ombre depuis plusieurs points situés sur la source et faire la moyenne des images obtenues.



✓ Algo:

Pour chaque polygone récepteur:
 pour chaque échantillon sur la source:
 calculer la matrice de projection;
 dessiner le récepteur;
 dessiner les obstacles en noir;
 ajouter l'image à l'accumulation buffer;
 sauver l'accumulateur dans la mémoire de texture

Méthodes à base de textures

Espace image

Méthode Herf (Herf'97) 2/2

✓ Calcul de la matrice de projection:

Arbitrary Point Light Sample a $w=0$

Occluding Polygons $y=0$

Receiver Parallelogram $x=0$ $x=w$ $w=1$ $b+e_x$ $b+e_x+e_y$ $y=w$ $b+e_y$

$e_x = b - a$

$$M = \begin{pmatrix} \alpha_x n_{xx} & \alpha_x n_{xy} & \alpha_x n_{xz} & -\alpha_x n_x \cdot \mathbf{b} \\ \alpha_y n_{yx} & \alpha_y n_{yy} & \alpha_y n_{yz} & -\alpha_y n_y \cdot \mathbf{b} \\ \mathbf{0} & \mathbf{0} & \mathbf{0} & 1 \\ \alpha_w n_{wx} & \alpha_w n_{wy} & \alpha_w n_{wz} & -\alpha_w n_w \cdot \mathbf{a} \end{pmatrix}$$

avec

$$\begin{aligned} \mathbf{n}_x &= \mathbf{e}_w \times \mathbf{e}_y & \alpha_x &= 1/n_x \cdot \mathbf{e}_x \\ \mathbf{n}_y &= \mathbf{e}_x \times \mathbf{e}_w & \alpha_y &= 1/n_y \cdot \mathbf{e}_y \\ \mathbf{n}_w &= \mathbf{e}_y \times \mathbf{e}_x & \alpha_w &= 1/n_w \cdot \mathbf{e}_w \end{aligned}$$

✓ Résultats

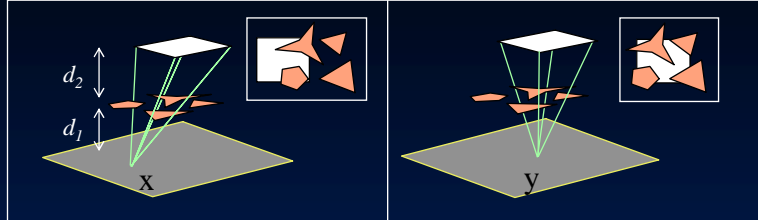


Méthodes à base de textures

Espace image

Méthode de convolution (Soler'98)

✓ Cas parallèle-plan



$$V(x) = \int_s v(x, x') dx' = \frac{1}{\alpha^2} (s_\alpha \otimes p_{1+\alpha})(x)$$

$$\alpha = \frac{d_1}{d_2} \quad p_{1+\alpha}(x) = P\left(\frac{1}{1+\alpha}x\right)$$

$$s_\alpha(x) = S\left(-\frac{1}{\alpha}x\right)$$

✓ Calcul:



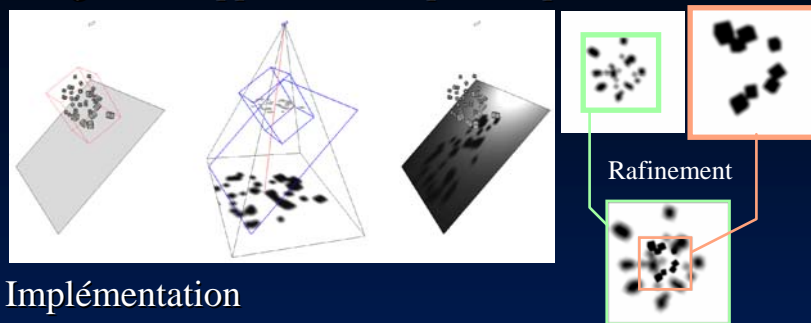
Hardware
Ou FFT

Méthodes à base de textures

Espace image

Méthode de convolution

✓ Cas général: approximation par des plans



✓ Implémentation

- Convolution par FFT ou OpenGL



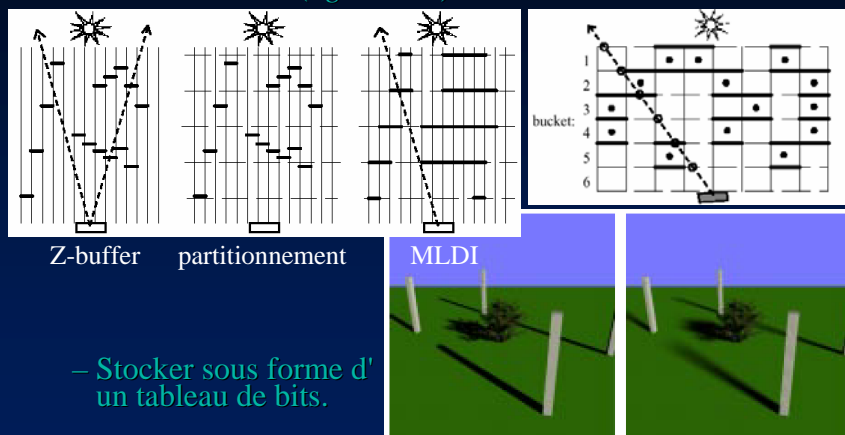
Espace image

Plan

- ✓ Espace objet
- ✓ Espace image
- ✓ Méthodes hybrides

Multi-layer depth images (Keating'99)

- ✓ Convertir la géométrie en un ensemble de couches
- ✓ Lancer des rayons vers la source à travers ces couches
 - Eviter les trous (*light leaks*)

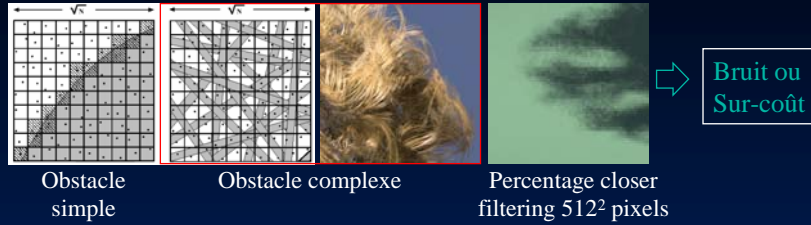


Méthodes hybrides

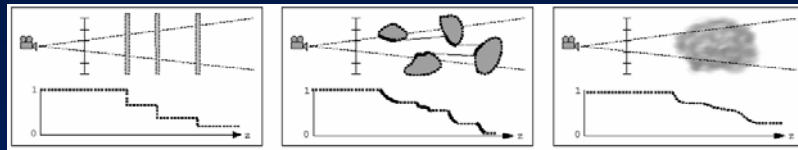
Méthodes hybrides

Deep shadow maps (Lokovic'00)

- ✓ Pour des obstacles complexes l'échantillonnage stochastique de *shadow map* a trop de variance.



- ✓ Utiliser une fonction de transmittance par pixel



- ✓ Sampling: anti-aliasing à z constant dans la *DSM*.

Méthodes hybrides

Méthodes hybrides

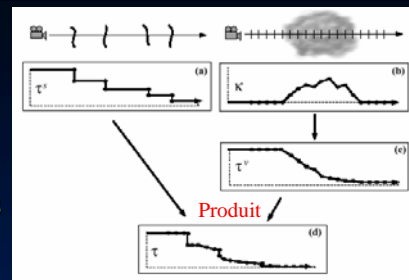
Deep shadow maps (Lokovic'00)

- ✓ Calcul
 - Visibilité volumique

$$\frac{dI(s)}{ds} = -k(s)I(s) \quad \tau(z) = e^{-\int_0^z k(t)dt}$$

- Surfaces semi-transparentes
 - » Fonctions en escalier

- ✓ Stockage:
 - compression



Méthodes hybrides

Méthodes hybrides

Références

Ray tracing

- Distributed ray tracing.* R.Cook, T. Porter, L.Carpenter. Siggraph'84
- Ray tracing with cones.* J.Amanatides. Siggraph'84
- Fast ray-tracing by ray classification.* J.Arvo, D.Kirk. Siggraph'87

Shadow maps - espace objet

- Casting curved shadows on curved surfaces.* William. Siggraph'78
- Rendering anti-aliased shadows with depth maps.* W.Reeves *et al.* Siggraph'87.
- Fast shadows and lighting effects using texture mapping.* M.Segal *et al.* Siggraph'92
- Rendering CSG models with a z-buffer.* D.Salesin, J.Stolfi. Siggraph'90.

Arbres BSP

- Near real time shadow generation using BSP trees.* Norman Chin, Steven Feiner. Siggraph'89
- Fast Object-Precision Shadow Generation for Area Light Sources Using BSP Trees.* N.Chin, S. Feiner. Siggraph'92

Techniques analytiques

- Computing exact shadow irradiance using splines.* M.Stark *et al.* Siggraph'99
- The visibility skeleton: a powerful and efficient multi-purpose global visibility tool.* CG, 31(3A)p89,1997

Techniques diverses

- Single sample soft shadows.* S.Parker, P.Shirley, B.Smith.
- Efficient generation of soft-shadow textures.* M.Herf. Technical report CMU-CS-97-138. Carnegie Mellon University, Pittsburgh.
- Fast computation of soft shadow textures using convolution.* C.Soler, F.Sillion. Siggraph'98

Surveys

- A survey of shadow algorithms.* A.Woo, P.Poulin, A.Fournier. IEEE CG&A, 10(6):13-32, Nov 1990.
- A multidisciplinary survey on visibility.* F.Durand. ACM course notes *Visibility, problems and applications.* Siggraph'2000.

Image-based

- Efficient image-based methods for rendering soft shadows.* M.Agrawala *et al.* Siggraph'2000
 - Deep shadow maps.* T. Lokovic, E.Veach. Siggraph'2000.
-